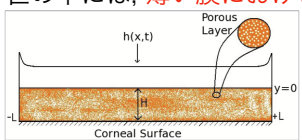
金平糖における角の形態形成メカニズムについての

数理モデルの構築及び解析

明治大学大学院 先端数理科学研究科 現象数理学専攻 博士前期課程2年

1. 背景

世の中には、薄い膜における現象が数多くある。

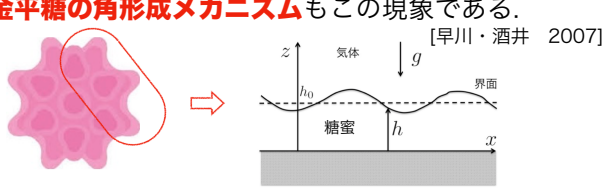




→ 角膜表面を覆う涙の 界面の挙動の研究

[Kumnit-Daniel 2010]

金平糖の角形成メカニズムもこの現象である.



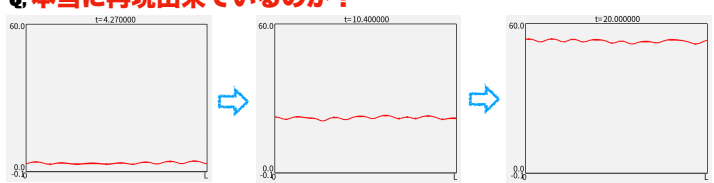
糖蜜界面の挙動に着目→金平糖の角形成について議論

この現象は、以下の数理モデルで記述出来る。

$$\frac{\partial h}{\partial t} = -\,c_2 \nabla^2 h - c_4 \nabla^4 h + v_0 \left(1 + \frac{1}{2} (\nabla h)^2\right) + F$$

 c_2 :角形成の効果, c_4 :平坦化の効果 v_0 :界面の速度,

Q. 本当に再現出来ているのか?



A. 角形成メカニズムを再現出来ている.

→ しかし, 早川氏, 酒井氏は<mark>導出過程</mark>を示していない.

"どのように正しいのかという点が不明!"

(i) 薄膜近似を適用することで導出過程を明確にし、 薄膜近似の観点から妥当なモデルを構築する.

(ii) 先行研究のモデルと構築した数理モデルの 相違点を検討し、数値計算結果を示す.

3. 数理モデルの構築

基礎方程式

以下の7種類の式が必要.

 $\frac{\partial u}{\partial x} + \frac{\partial w}{\partial z} = 0$

滑りなし条件 (z = 0)

 $\rho\left(\frac{\partial u}{\partial t} + u\frac{\partial u}{\partial x} + w\frac{\partial u}{\partial z}\right) = -\frac{\partial p}{\partial x} + \mu\left(\frac{\partial^2 u}{\partial x^2} + \frac{\partial^2 u}{\partial z^2}\right) + \rho g\frac{\partial h}{\partial x}$

 $\rho\left(\frac{\partial w}{\partial t} + u\frac{\partial w}{\partial x} + w\frac{\partial w}{\partial z}\right) = -\frac{\partial p}{\partial z} + \mu\left(\frac{\partial^2 w}{\partial x^2} + \frac{\partial^2 w}{\partial z^2}\right) - \rho g$

$$\mu \left(1 - \left(\frac{\partial h}{\partial x} \right)^2 \right) \left(\frac{\partial u}{\partial z} + \frac{\partial w}{\partial x} \right) + 2\mu \left(\frac{\partial w}{\partial z} - \frac{\partial u}{\partial x} \right) \frac{\partial h}{\partial x} = 0$$

接線方向の 力のつり合いの式 (z=h)

$$-p + \frac{2\mu}{1 + \left(\frac{\partial h}{\partial x}\right)^2} \left[\left(\frac{\partial h}{\partial x}\right)^2 \frac{\partial u}{\partial x} + \frac{\partial w}{\partial z} - \left(\frac{\partial u}{\partial z} + \frac{\partial w}{\partial x}\right) \frac{\partial h}{\partial x} \right] = \gamma \frac{\frac{\partial^2 h}{\partial x^2}}{\left(1 + \left(\frac{\partial h}{\partial x}\right)^2\right)^{\frac{3}{2}}}$$

カのつり合いの式 (z=h)

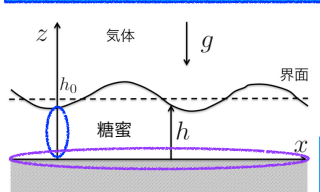
これら7式のままモデルの構築は複雑で難しい。

議論しやすいように、これら7式を簡略化したい.



薄膜近似をこれら7式に適用する.

4. 薄膜近似



厚さのスケール<面積のスケール の場合に適用可能.

糖蜜界面での現象に適合するように 変数変換を施す.

Step1. 元々の式

ep I. 元々の氏]
$$\frac{\partial h}{\partial t} + u \frac{\partial h}{\partial x} - w = -\xi \frac{\frac{\partial^2 h}{\partial x^2}}{\left(1 + \left(\frac{\partial h}{\partial x}\right)^2\right)^{\frac{3}{2}}}$$
ep 2. 変数変換後の式]

 $\varepsilon u_0 \frac{\partial H}{\partial T} + \varepsilon u_0 U \frac{\partial H}{\partial X} - \varepsilon u_0 W = - \varepsilon u_0 \Xi \frac{\partial^2 H}{\partial X^2}$

ightarrow arepsilonの最低次項のみ議論する

Step3. 最終的な式

$$\frac{\partial H}{\partial T} + U \frac{\partial H}{\partial X} - W = - \Xi \frac{\partial^2 H}{\partial X^2}$$

$$\begin{split} x &= \frac{h_0}{\varepsilon} X \qquad t = \frac{h_0}{\varepsilon u_0} T \qquad h = h_0 H \\ u &= u_0 U \qquad w = \varepsilon u_0 W \qquad \xi = \frac{u_0 h_0}{\varepsilon} \Xi \end{split}$$

残り6つの式にも適用 圧力P. 流速U. Wを求める Step3に代入する.

モデル完成! 複雑だった式が簡単な形で表せた!

新たな角形成メカニズムの数理モデル

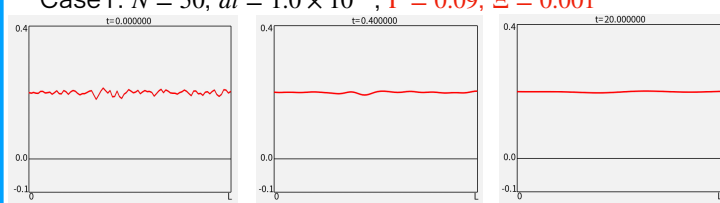
$$\frac{\partial H}{\partial T} = -\Gamma \left(\frac{H^2}{2} \frac{\partial^3 H}{\partial X^3} \frac{\partial H}{\partial X} + \frac{H^3}{3} \frac{\partial^4 H}{\partial X^4} \right) - \Xi \frac{\partial^2 H}{\partial X^2}$$

→糖蜜界面の高さの挙動に限定したモデルの構築に成功!

5. 数值計算

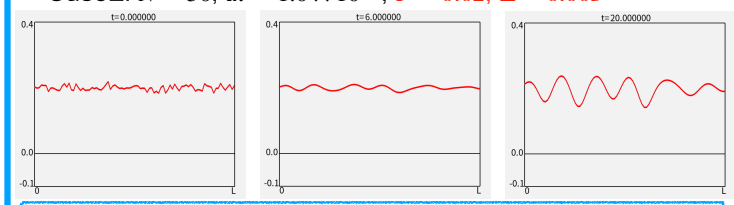
0.新モデルでも再現出来るのか?

Case 1. N = 50, $dt = 1.0 \times 10^{-3}$, $\Gamma = 0.09$, $\Xi = 0.001$



ΓとEの差が大きい→角が形成されない.

Case 2. N = 50, $dt = 1.0 \times 10^{-3}$, $\Gamma = 0.02$, $\Xi = 0.005$



ΓとΞの差が小さい→角が形成される.

A, 新モデルでも, 再現に成功した.

角の形成は、Eに依存することが分かった.

先行研究のモデルと 同様な結果が得られると分かった!

6. 結論

(i) 薄膜近似を適用し, 導出過程を明確に示したことで, 理論的に不明な点がないモデルの構築に成功した.

(ii) 先行研究モデル同様、新モデルでも再現可能であり。

より妥当性が高いと数値計算結果より示せた.